

**LIX SAIt, Catania**

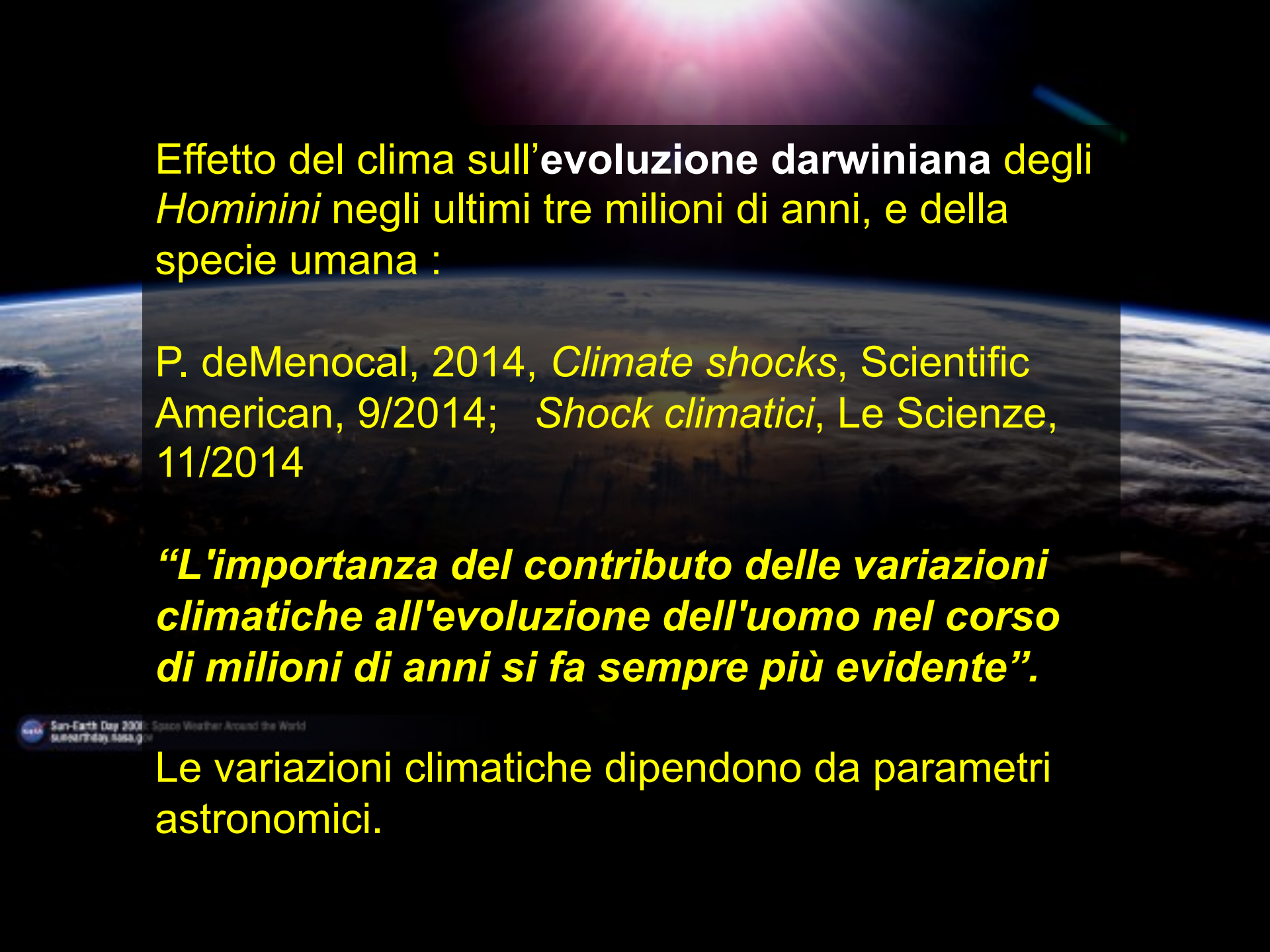


# **Effetti astronomici a lungo periodo ed evoluzione umana**

 Sun-Earth Day 2000: Space Weather Around the World  
[sunearthday.nasa.gov](http://sunearthday.nasa.gov)

**Elio Antonello**

*INAF-Osservatorio Astronomico di Brera  
SIA-Società Italiana di Archeoastronomia*

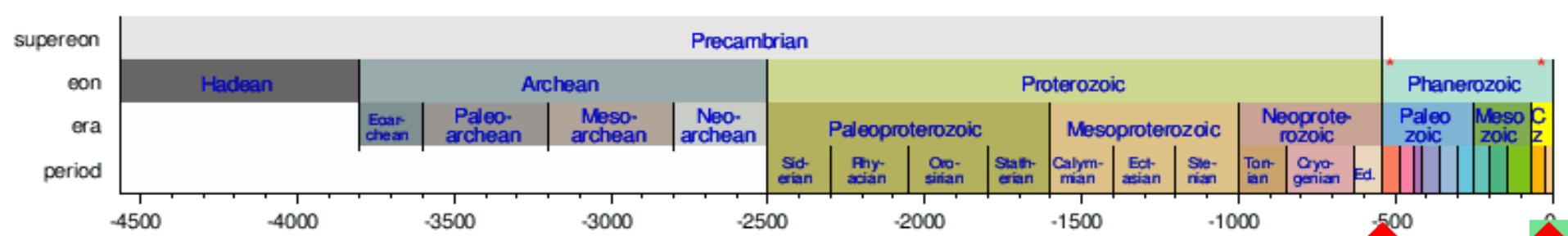


Effetto del clima sull'evoluzione darwiniana degli *Hominini* negli ultimi tre milioni di anni, e della specie umana :

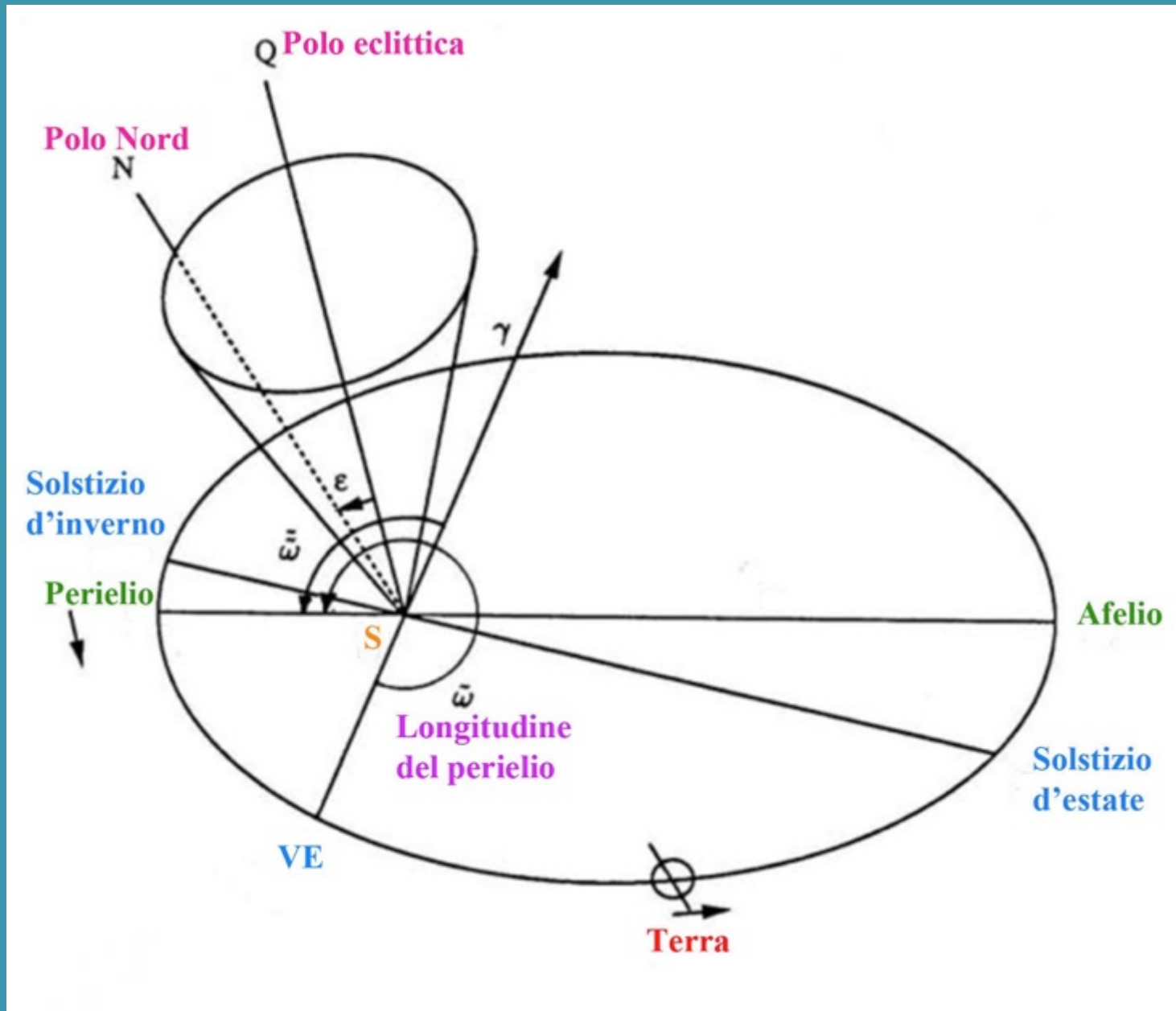
P. deMenocal, 2014, *Climate shocks*, Scientific American, 9/2014; *Shock climatici*, Le Scienze, 11/2014

***“L'importanza del contributo delle variazioni climatiche all'evoluzione dell'uomo nel corso di milioni di anni si fa sempre più evidente”.***

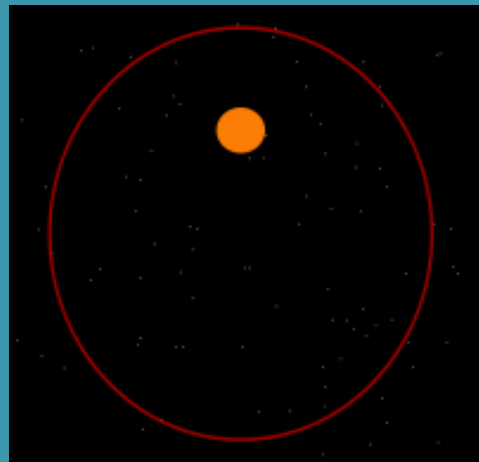
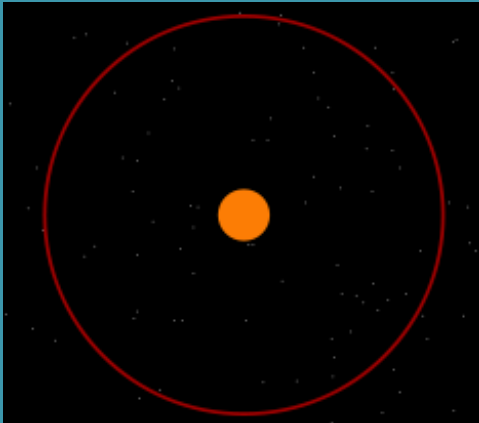
Le variazioni climatiche dipendono da parametri astronomici.



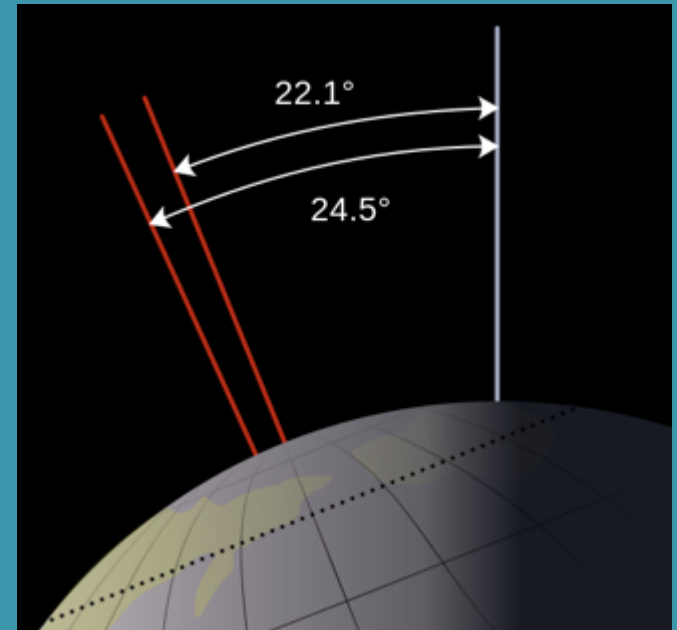
Elements of the Earth's orbit  
(Berger & Loutre, 1994)



$e$  eccentricità  
(scala 100000 anni)

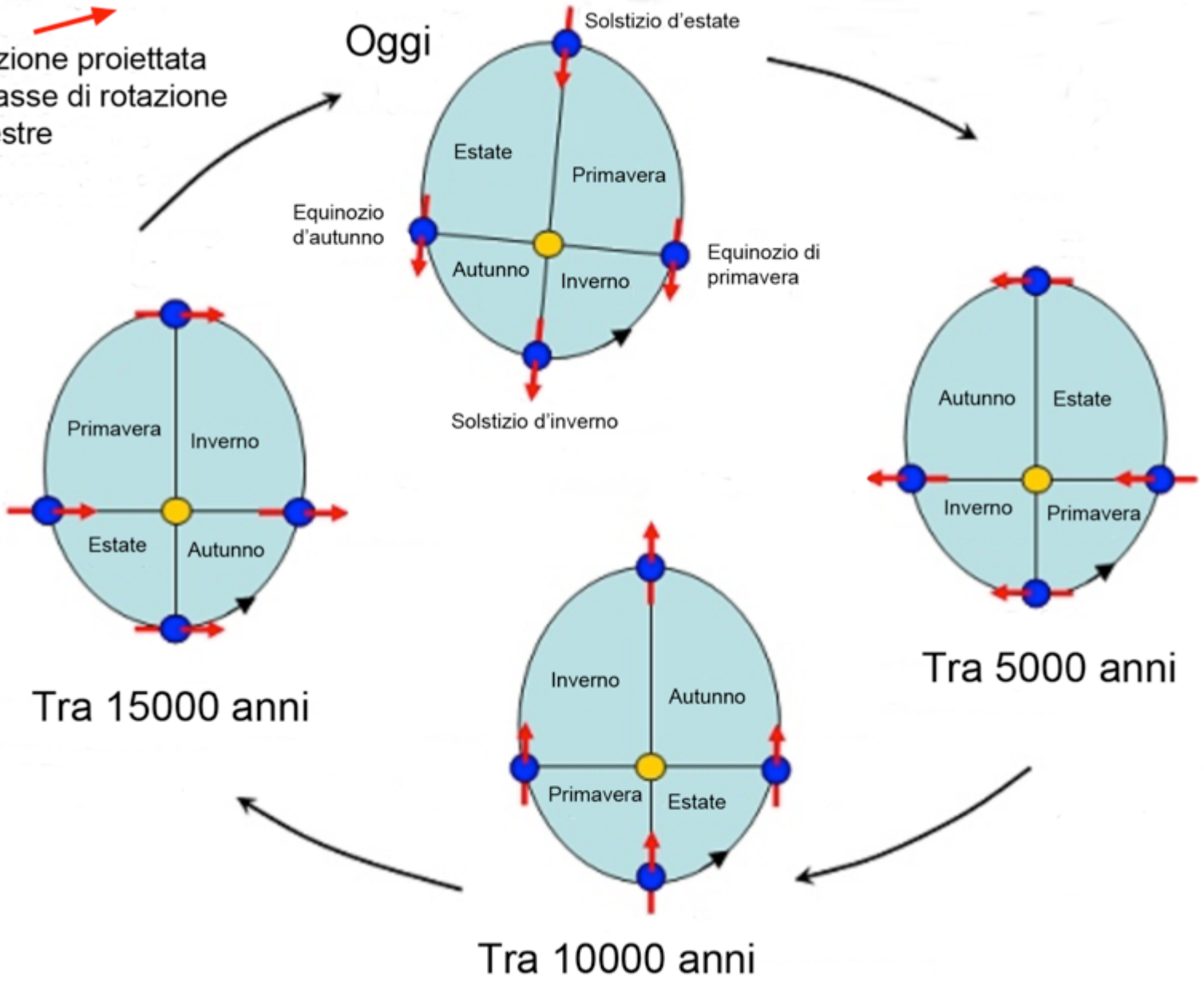


Obliquità  
dell'eclittica (circa  
41000 anni)



Direzione proiettata dell'asse di rotazione terrestre

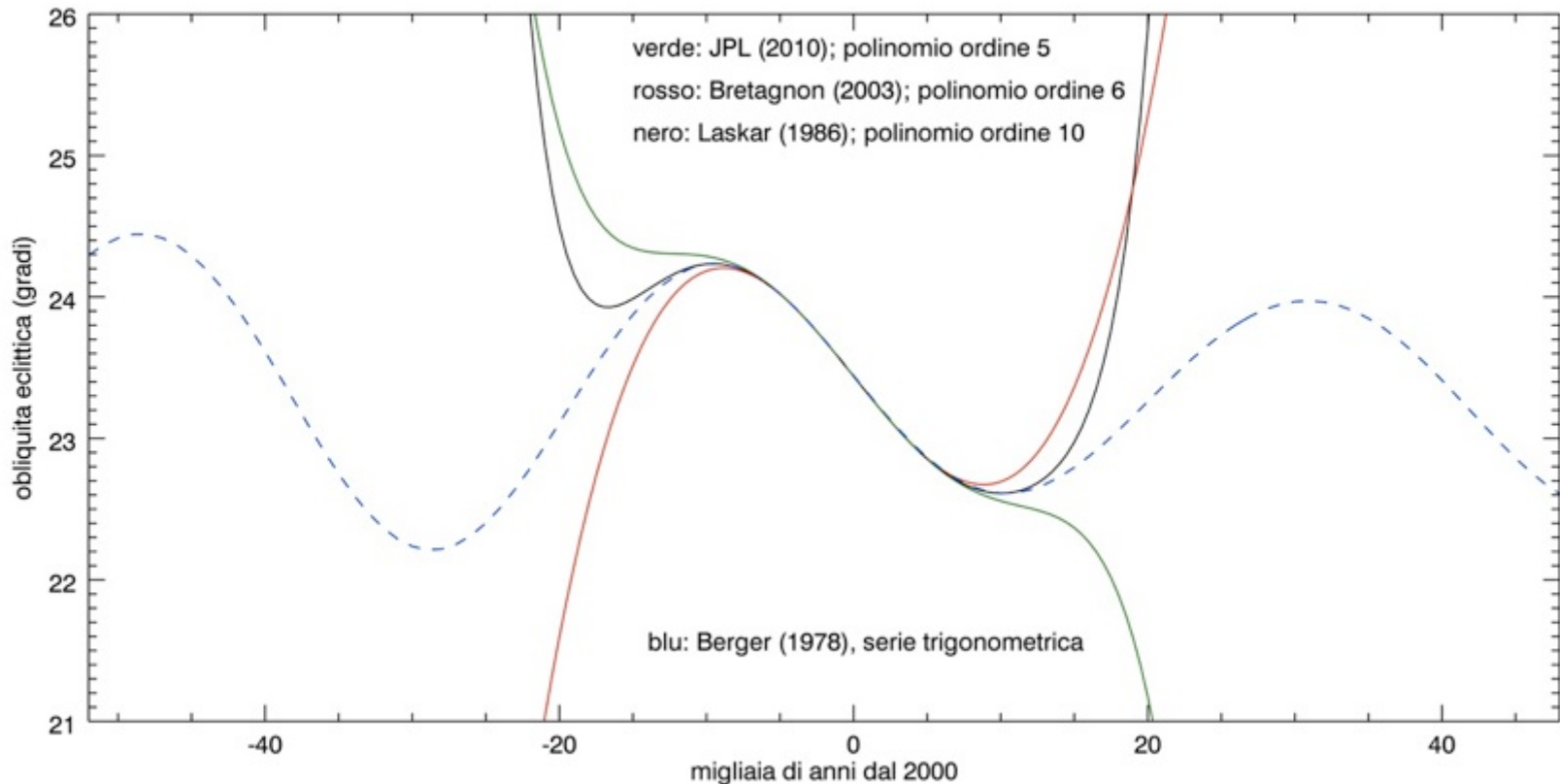
Oggi



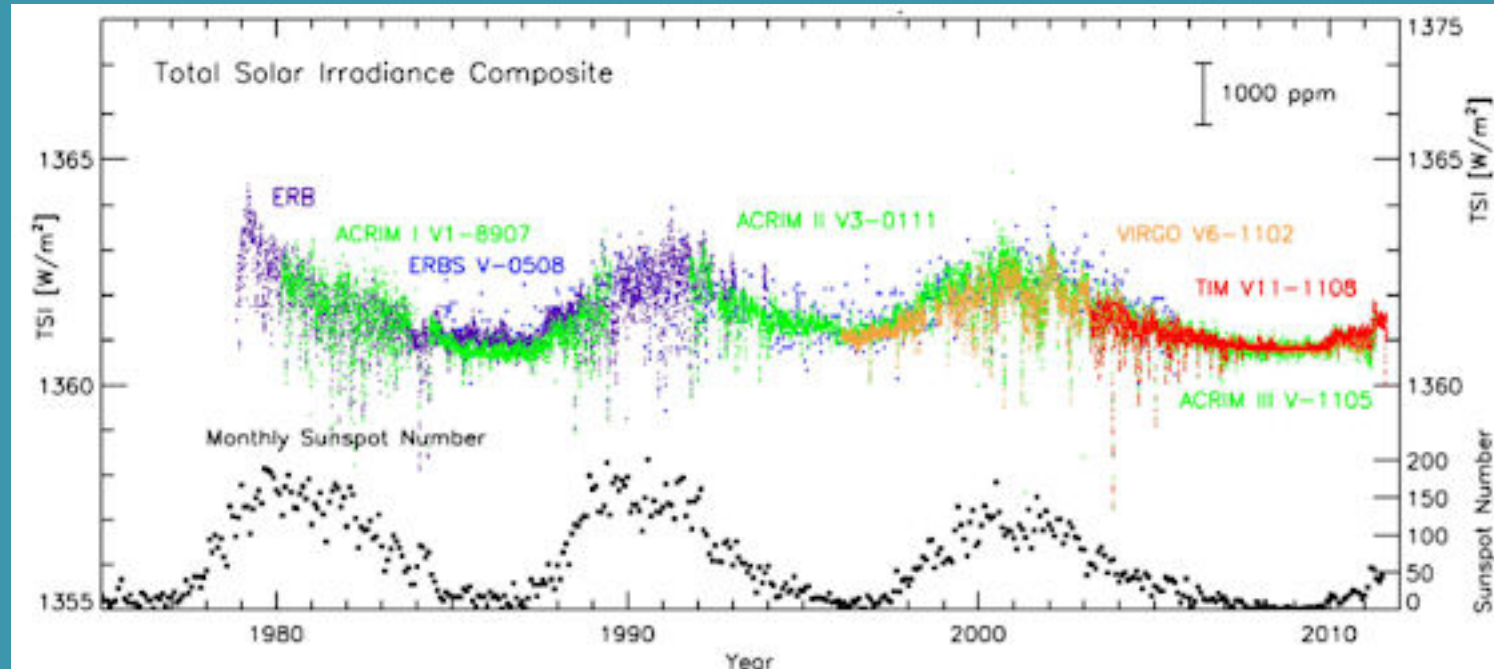
Precessione equinozi + apsidi = precessione climatica (circa 19000 - 23000 anni)

## Obliquità dell'eclittica $\varepsilon$ (periodo circa 41000 anni)

Soluzione equazioni meccanica celeste. Perturbazioni secolari.  
Confronto tra espansioni polinomiali in tempo e serie trigonometriche.



**“Costante” solare:** energia per unità di tempo e di superficie (ortogonale ai raggi solari), senza atmosfera.



Space-borne measurements of the total solar irradiance (TSI) show ~0.1 percent variations with solar activity on 11-year and shorter timescales. These data have been corrected for calibration offsets between the various instruments used to measure TSI. SOURCE: Courtesy of Greg Kopp, University of Colorado. (NASA – Science News 2013)

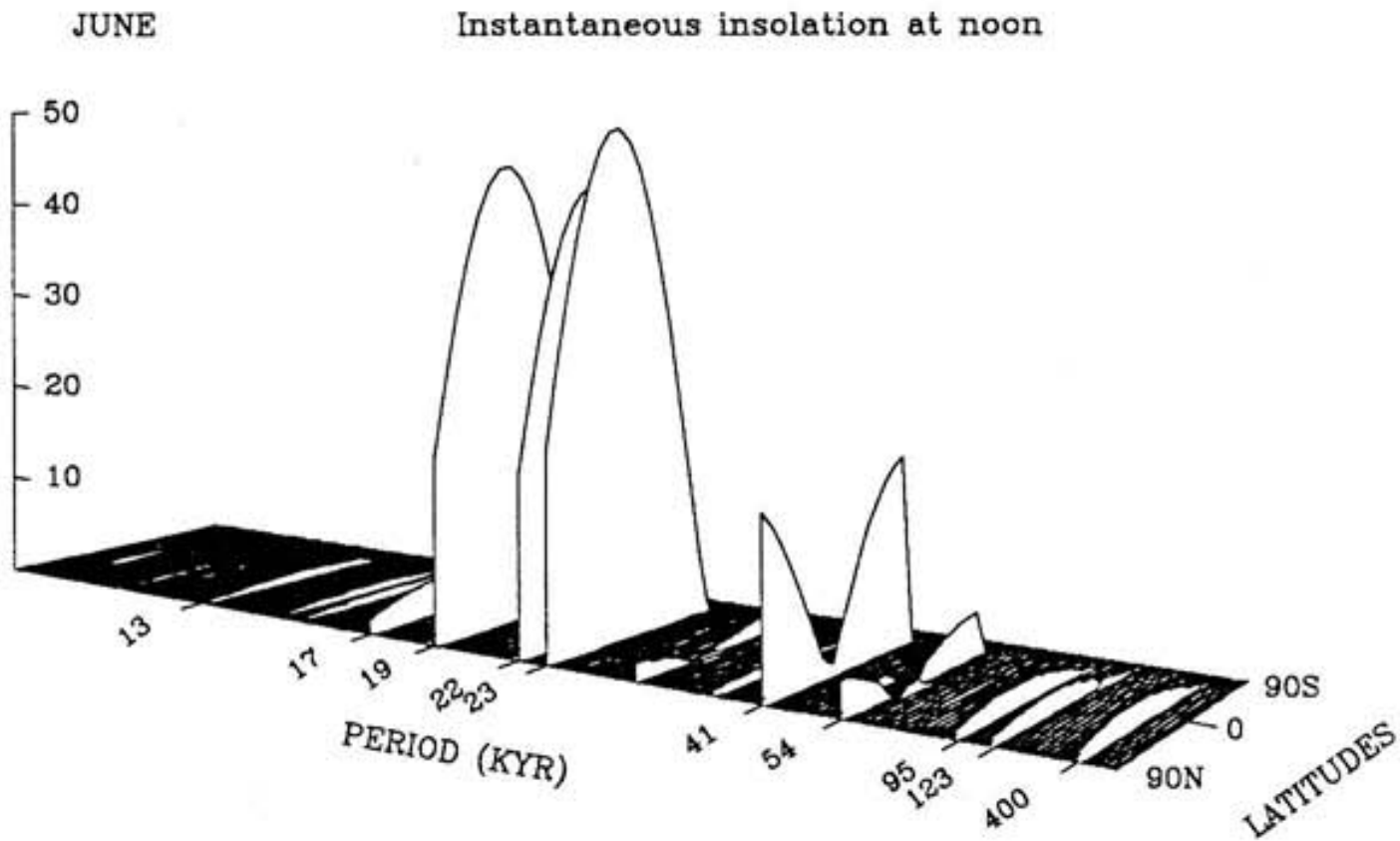
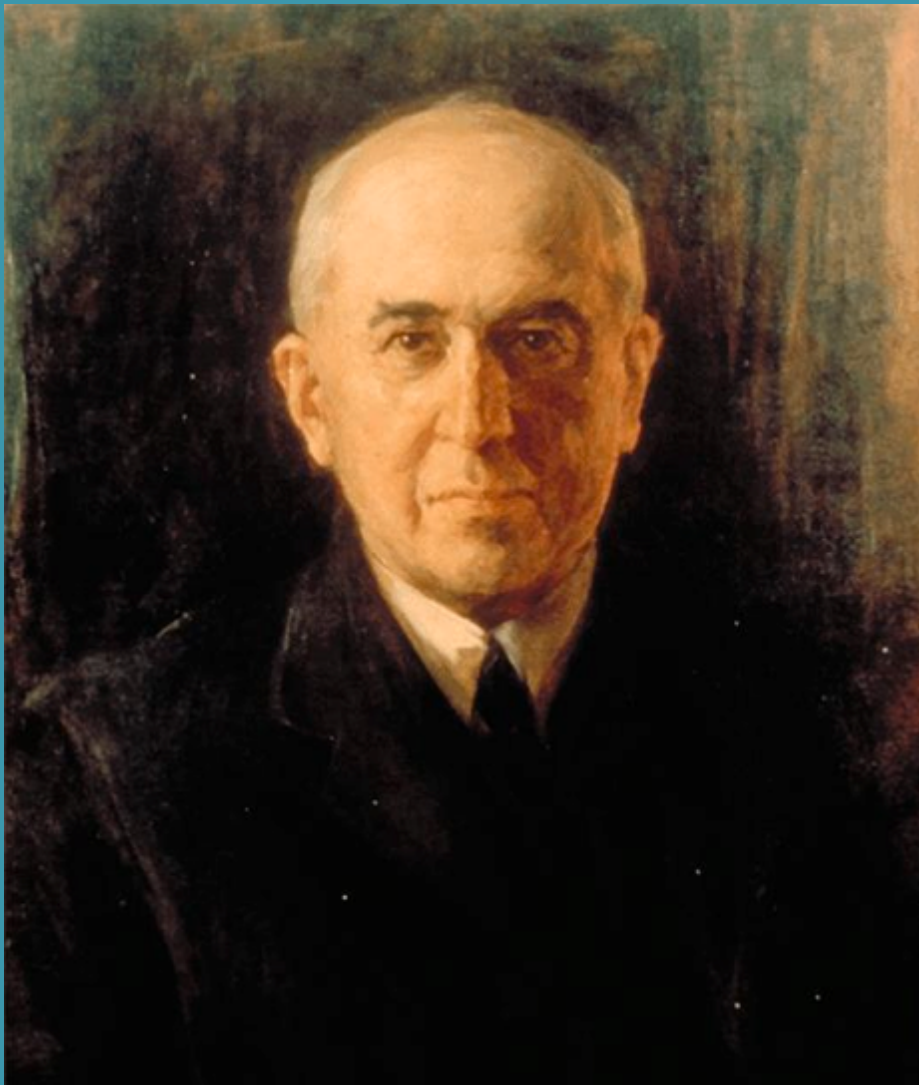


Figure 9: Spectral amplitude in the Thomson multi-taper harmonic analysis of the instantaneous insolation at noon for summer solstice (June) and for each latitude between the north pole and the south pole.

Berger A. and Loutre M.F., 1994. *Precession, eccentricity, obliquity, insolation and paleoclimates*. In: Long Term Climatic Variations, Data and Modelling. J.C. Duplessy and M.-T. Spyridakis (eds). Nato ASI series, Serie I: Global Environmental Change, Springer-Verlag, Berlin, vol. 22. p107-151. <http://ebookbrowse.net/berger-loutre-1994-pdf-d362816449>



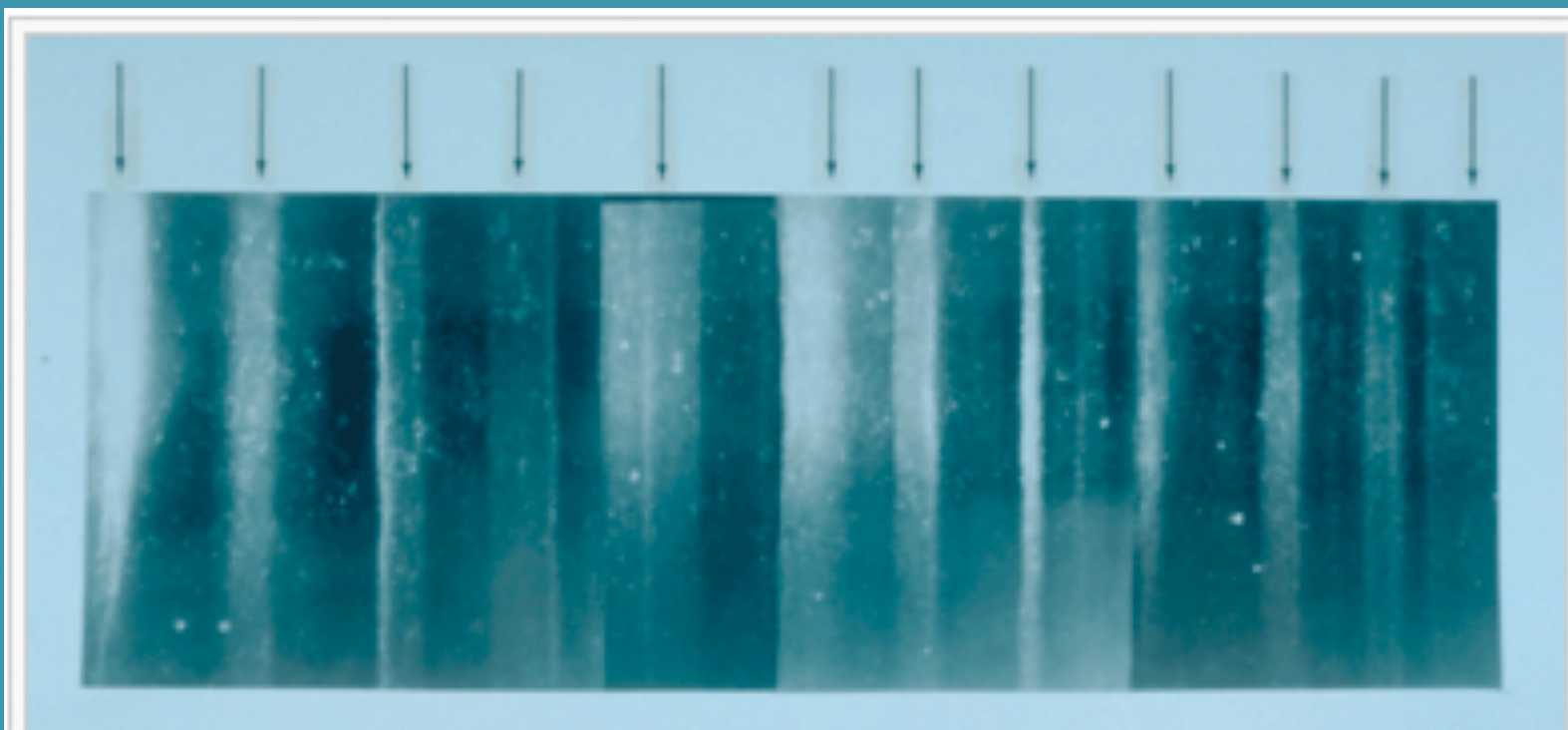
Milutin Milankovitch (1879-1958)

Milankovitch (1941) ha riassunto in un libro i risultati dei suoi calcoli dell'insolazione, basati su lavori precedenti di Leverrier, Stockwell e Pilgrim.

Ha proposto che l'insolazione estiva è quella dominante.

Fino agli anni '70 del secolo scorso non è stato possibile effettuare tests convincenti, data la scarsità di dati geologici specifici.

# CLIMATE PROXIES: ICE CORES



19 cm long section of GISP 2 ice core from 1855 m showing annual layer structure illuminated from below by a fiber optic source. Section contains 11 annual layers with summer layers (arrowed) sandwiched between darker winter layers.



# CLIMATE PROXIES: Corals, Benthic Foraminifera

PA1003

LISIECKI AND RAYMO: PLIOCENE-PLEISTOCENE BENTHIC STACK

PA1003

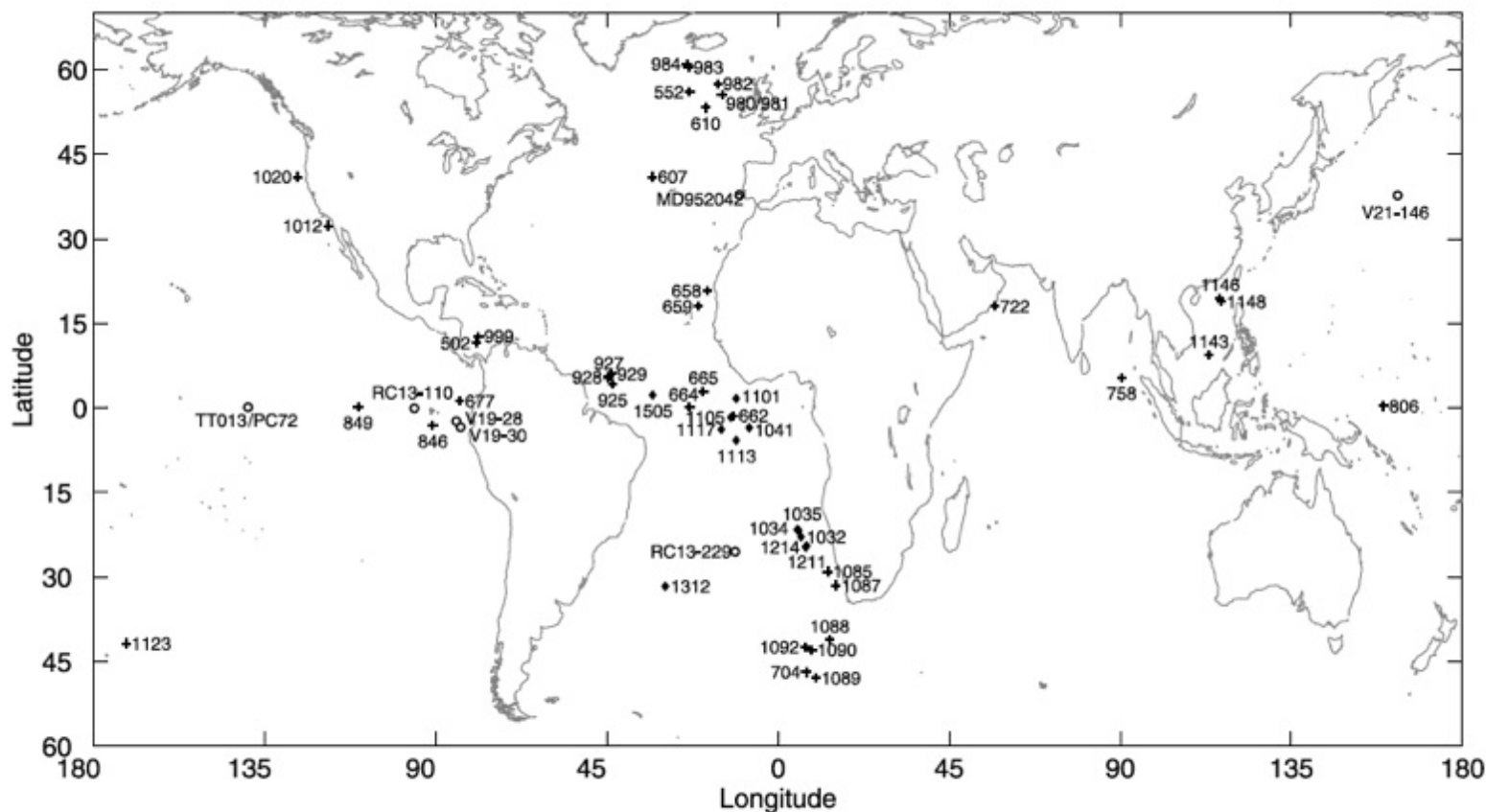


Figure 1. Location of the cores used in this study. Benthic  $\delta^{18}\text{O}$  data are taken from Deep-Sea Drilling Project (DSDP) and Ocean Drilling Program (ODP) sites (crosses), GeoB sites (diamonds), and others (circles).

Lisiecki, L. E.; Raymo, M. E. (January 2005). *A Pliocene-Pleistocene stack of 57 globally distributed benthic  $\delta^{18}\text{O}$  records*. *Paleoceanography* 20: PA1003.

# $\delta^{18}\text{O}$

From Wikipedia, the free encyclopedia

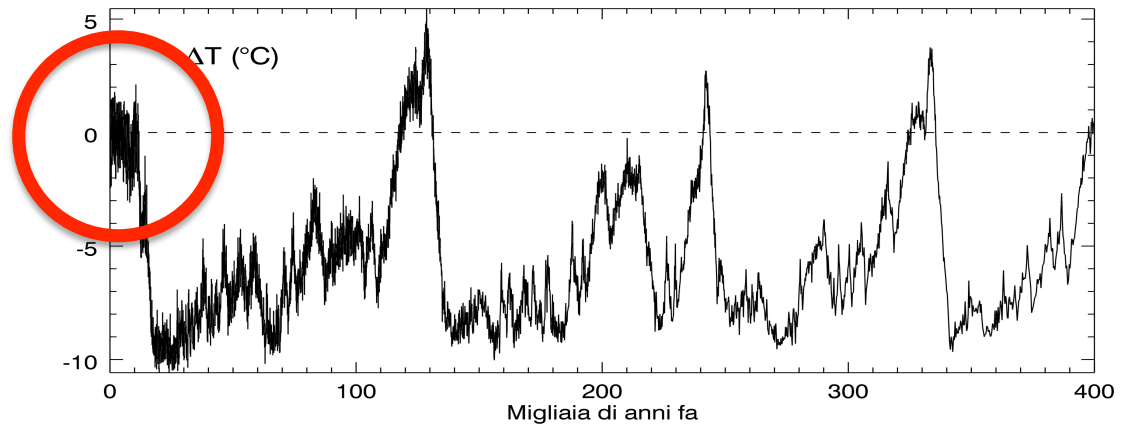
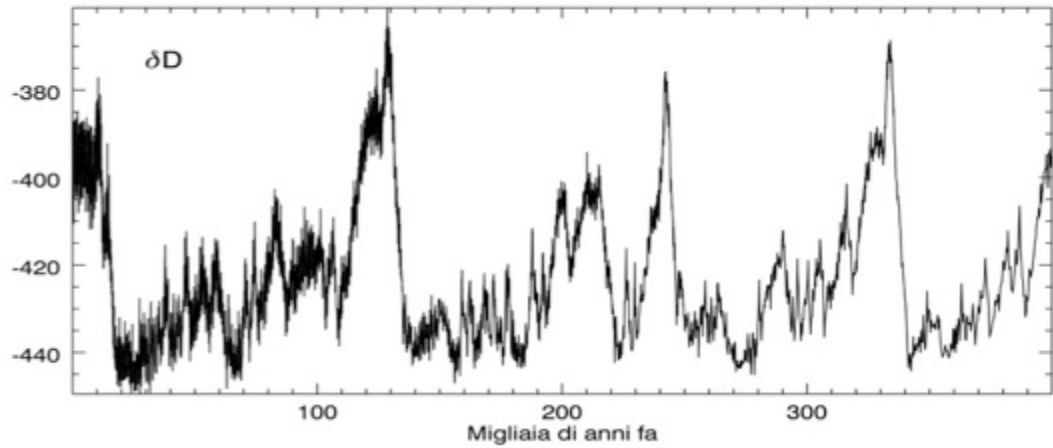
In geochemistry, paleoclimatology and paleoceanography  $\delta^{18}\text{O}$  or **delta-O-18** is a measure of the ratio of stable isotopes  $^{18}\text{O}:^{16}\text{O}$  (oxygen-18:oxygen-16). It is commonly used as a measure of the temperature of precipitation, as a measure of groundwater/mineral interactions, as an indicator of processes that show isotopic fractionation, like methanogenesis. In paleosciences,  $^{18}\text{O}:^{16}\text{O}$  data from corals, foraminifera and ice cores are used as a proxy for temperature. The definition is, in "per mil" (‰, parts per thousand):

$$\delta^{18}\text{O} = \left( \frac{\left( \frac{^{18}\text{O}}{^{16}\text{O}} \right)_{\text{sample}}}{\left( \frac{^{18}\text{O}}{^{16}\text{O}} \right)_{\text{standard}}} - 1 \right) * 1000 \text{ ‰}$$

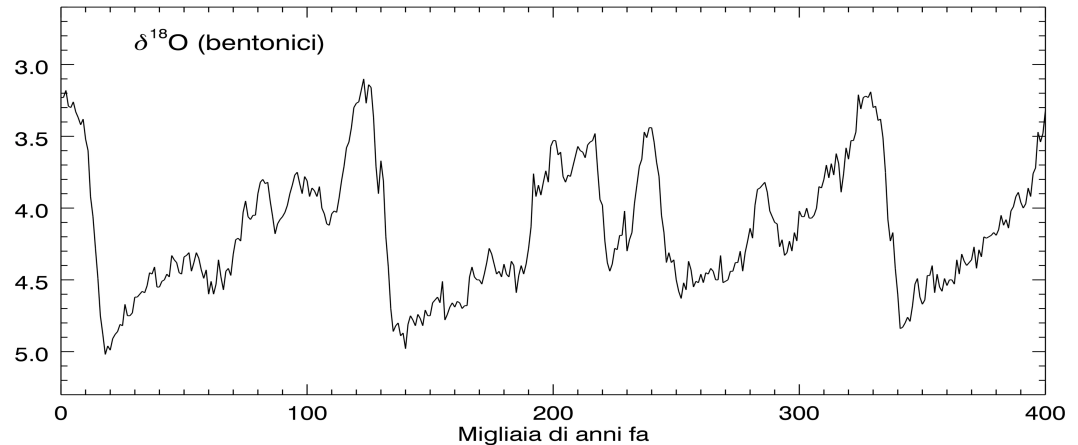
where the standard has a known isotopic composition, such as Vienna Standard Mean Ocean Water (VSMOW).<sup>[2]</sup> The fractionation can arise from kinetic, equilibrium, or mass-independent fractionation.

$^{16}\text{O}$	99.76%	$^{16}\text{O}$ is stable with 8 neutrons
$^{17}\text{O}$	0.039%	$^{17}\text{O}$ is stable with 9 neutrons
$^{18}\text{O}$	0.201%	$^{18}\text{O}$ is stable with 10 neutrons

Antartide EPICA/DomeC  
(Jouzel et al. 2007):  
eccesso di deuterio  
(per mille)



Ocean drillings  
(Lisiecki, Raymo, 2005)  
eccesso di ossigeno

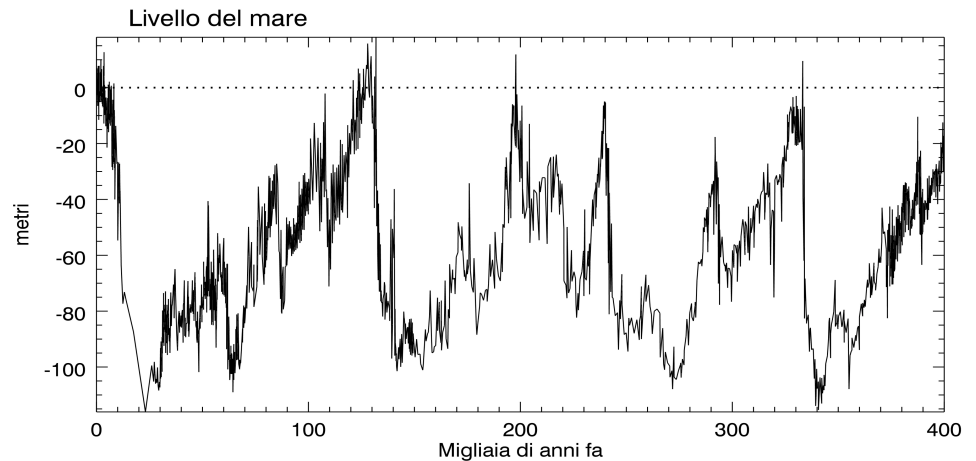
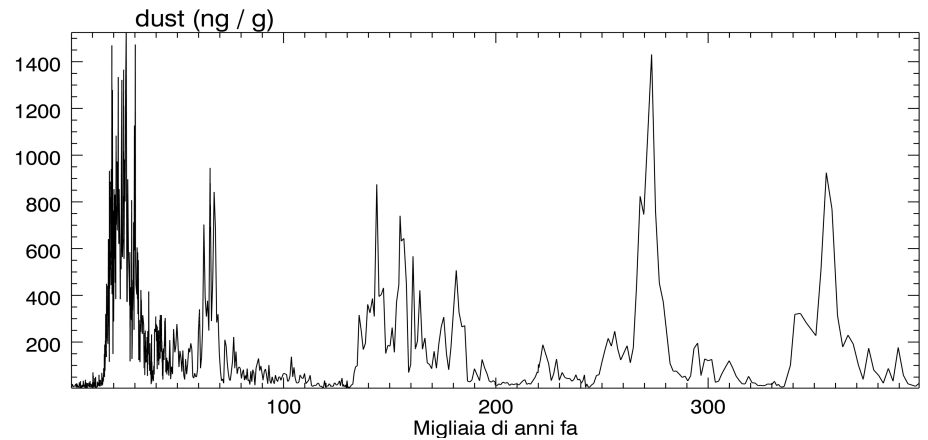
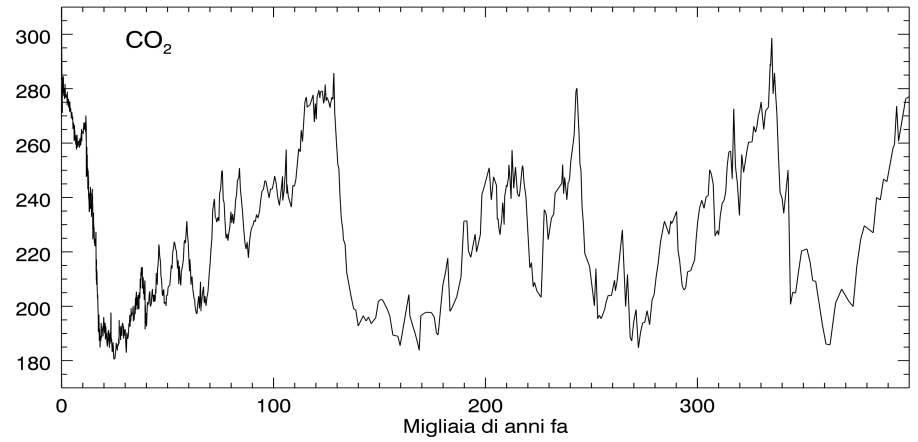


**2015:  
400 p.p.m.!**

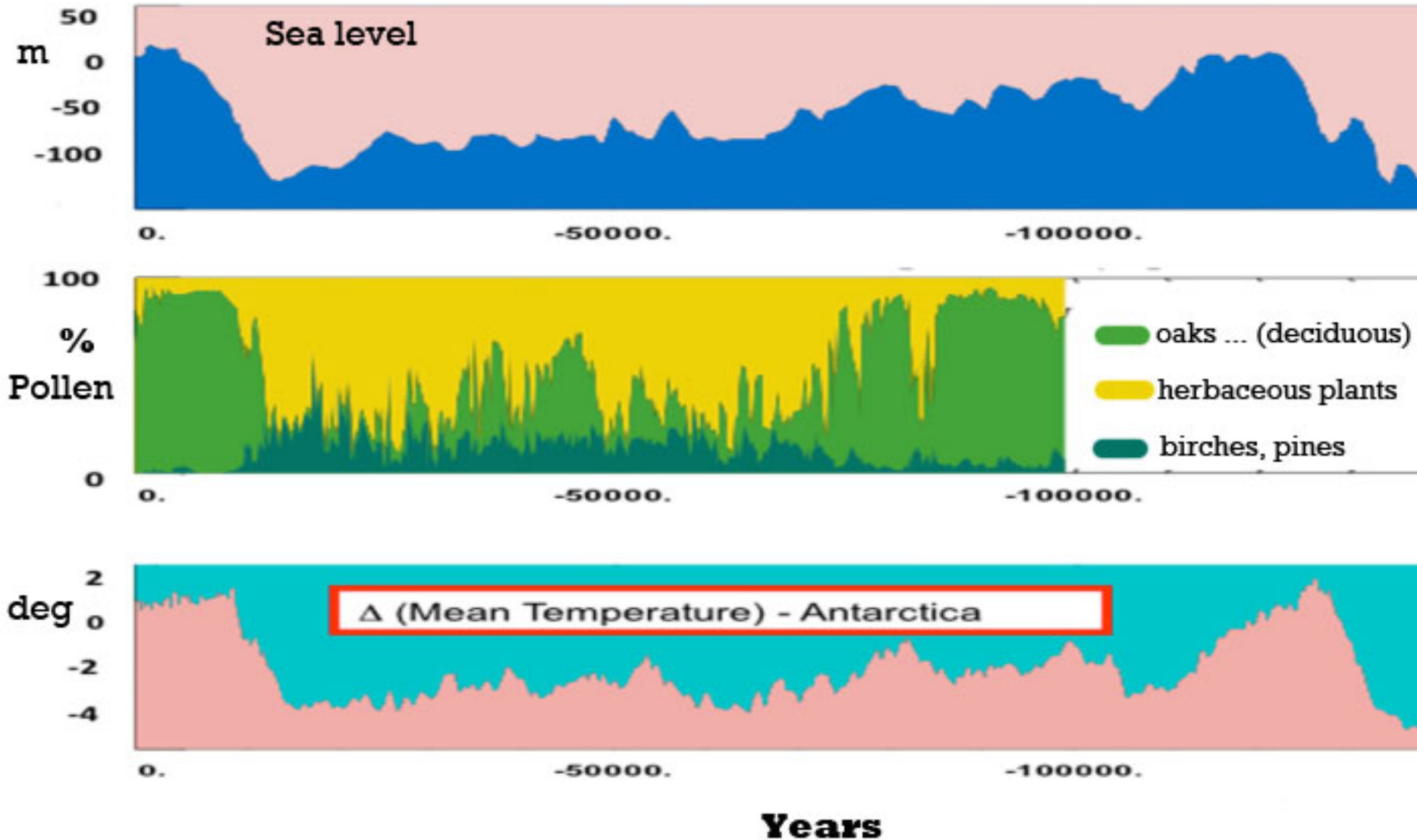
**Antartide: CO<sub>2</sub> (p.p.m.)**

**Antartide (Lambert et al., 2008)**

**Mar Rosso (Grant et al. 2014)**



# CLIMATE PROXIES: Pollen

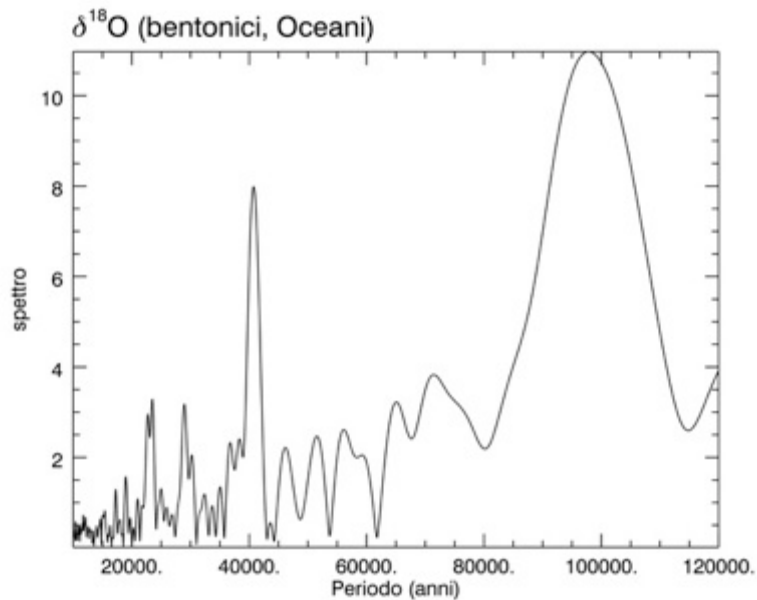
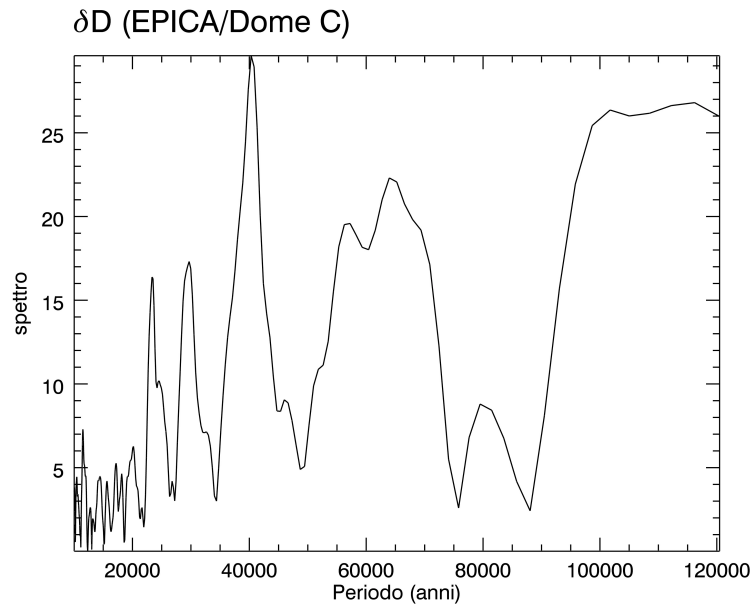


Allen, J. R.M., Watts, W. A., McGee, E. & Huntley, B. (2002). Holocene environmental variability - the record from Lago Grande di Monticchio, Italy. *Quaternary International* **88**: 69-80.

Spettri di ampiezza  
(Lomb-Scargle)

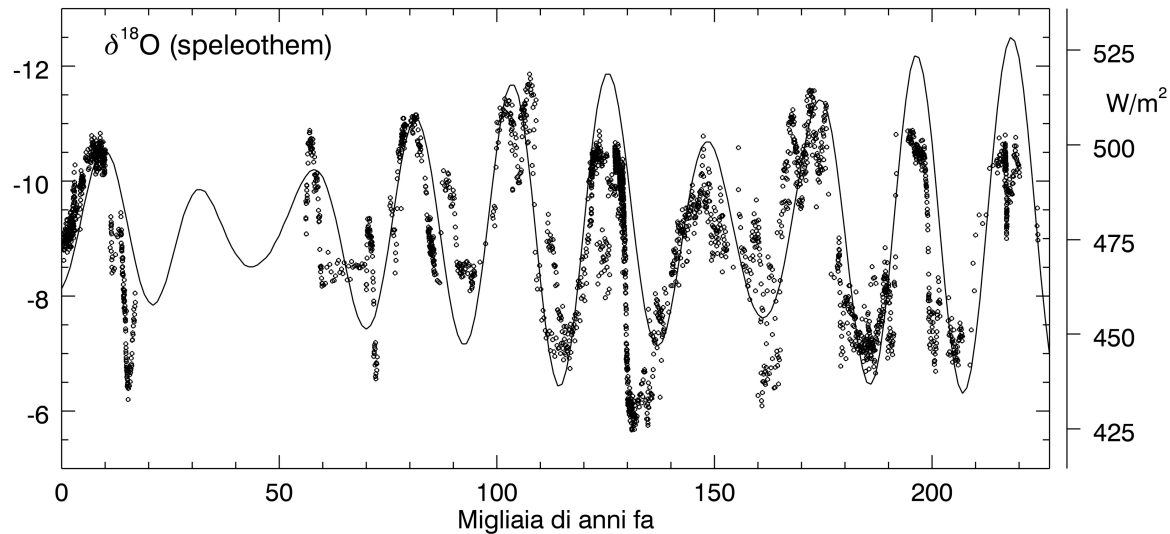
Antartide EPICA/DomeC  
(Jouzel et al. 2007)  
circa 800 Kyr

Ocean drillings  
(Lisiecki, Raymo, 2005)  
circa 5 Myr



# PROXY: Speleothem

Andamento dell'eccesso di  $^{18}\text{O}$  (in per mille) misurato in stalagmiti della Sanbao Cave in Cina (dati di **Wang et al. 2008**) confrontato con quello dell'insolazione estiva (mese di luglio) a latitudine  $30^\circ\text{ N}$  (curva continua; dati di A. Berger).

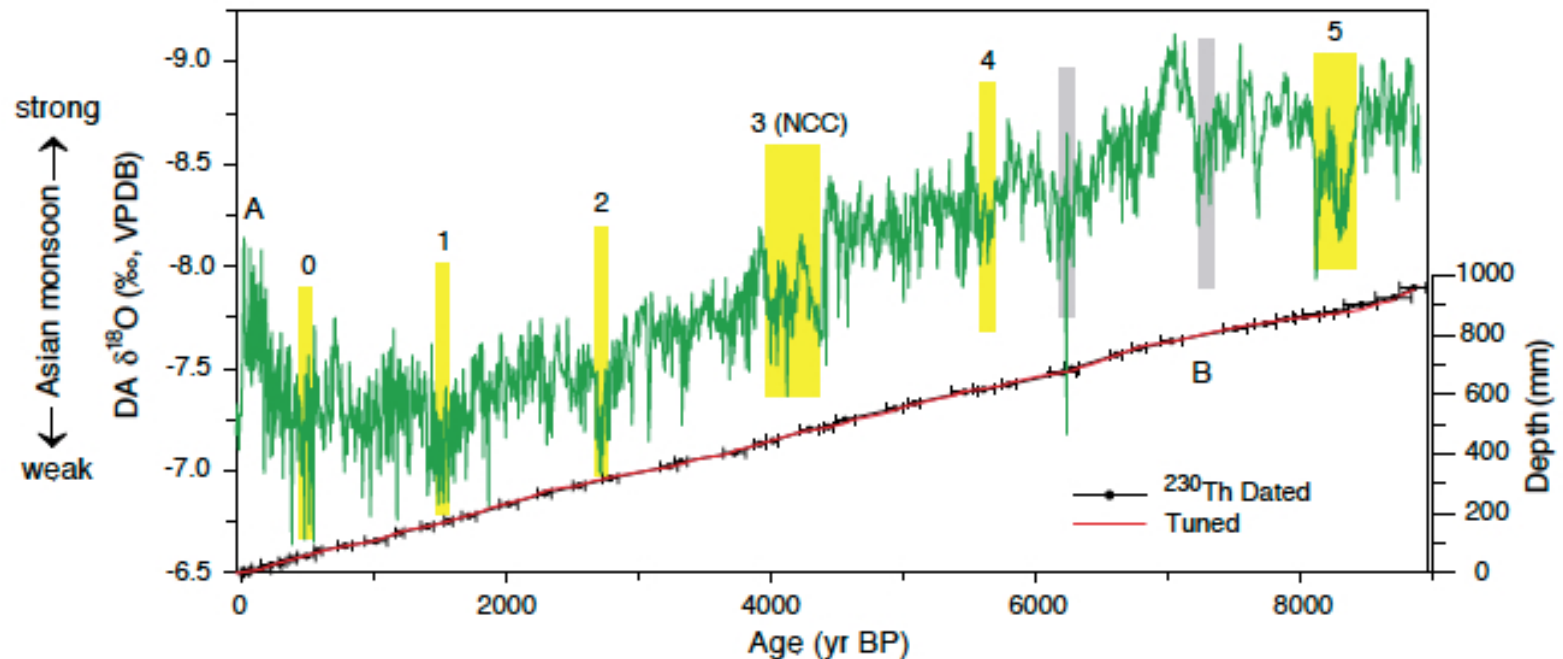


**Il dibattito in corso è volto a capire quanto è legato all'*orbital forcing* il sistema climatico del *South Asian Summer Monsoon*, "da cui dipende la sopravvivenza di un quarto della popolazione mondiale" (Shi et al., 2014).**

# PROXY: Speleothem

Andamento dell'eccesso di  $^{18}\text{O}$  (in per mille) misurato in

Fig. 1. (A)  $\delta^{18}\text{O}$  time series of the Dongge Cave stalagmite DA (green line). Six vertical yellow bars denote the timing of Bond events 0 to 5 in the North Atlantic (2). The Chinese events that correlate with Bond events 3 and 5 coincide within error with the collapse of the Neolithic Culture of China (NCC) (23) and the timing of an abrupt outflow event from a Laurentide ice-margin lake (22), respectively. Two vertical gray bars indicate two other notable weak AM events that can be correlated to ice-rafted debris events (2).

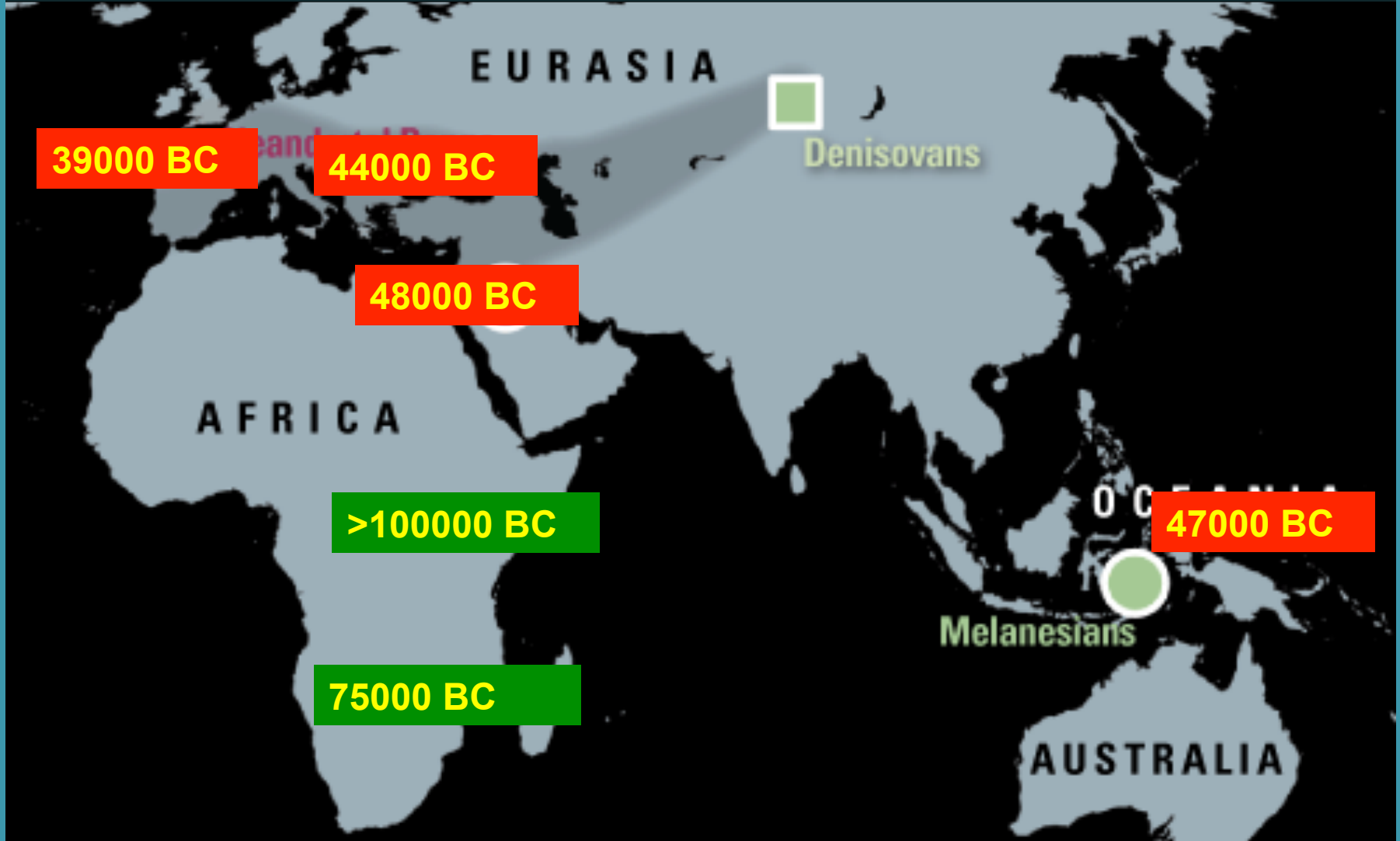


(B) DA age-depth (mm, relative to the top) relations. Black error bars show  $^{230}\text{Th}$  dates with  $2\sigma$  errors (table S1). We use two

different age-depth curves, one employing linear interpolation between dated depths and the second slightly modified by tuning to INTCAL98 (15) within the  $^{230}\text{Th}$  dating error (26).

**Il dibattito in corso è volto a capire quanto è legato all'orbital forcing il sistema climatico del South Asian Summer Monsoon, "da cui dipende la sopravvivenza di un quarto della popolazione mondiale" (Shi et al., 2014).**

# EVOLUZIONE UMANA



A. Gibbons, 2011, *A new view of the birth of Homo sapiens*, Science, 331, 392

**Diffusione dell' *Homo sapiens* dall' Africa**

# Paleolitico

Tempo →

## L'ANDAMENTO DEL CLIMA E LA NOSTRA EVOLUZIONE

140'000 a.C. 120'000 a.C. 100'000 a.C. 80'000 a.C.

Origine della nostra specie  
*Homo sapiens* in Africa

Clima  
caldo



Neanderthal



Clima medio attuale

Clima  
freddo

Glaciazione  
di Riss

Glaciazione di Würm



## L'ANDAMENTO DEL CLIMA E LA NOSTRA EVOLUZIONE

60'000 a.C. 40'000 a.C. 20'000 a.C.

Arrivo del nostro  
antenato *Homo sapiens*  
in Asia e  
in Europa



Clima medio attuale



Glaciazione di Würm



Ultimi  
15'000 anni



Younger  
Dryas



# L'ANDAMENTO DEL CLIMA E LA NOSTRA EVOLUZIONE

(ultimi 15'000 anni)

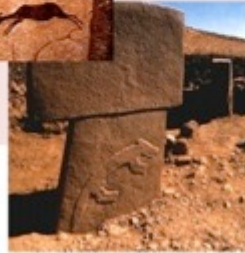
13'000 a.C.

8'000 a.C.

3'000 a.C.

1 d.C.

2000 d.C.



Clima medio attuale

Younger Dryas



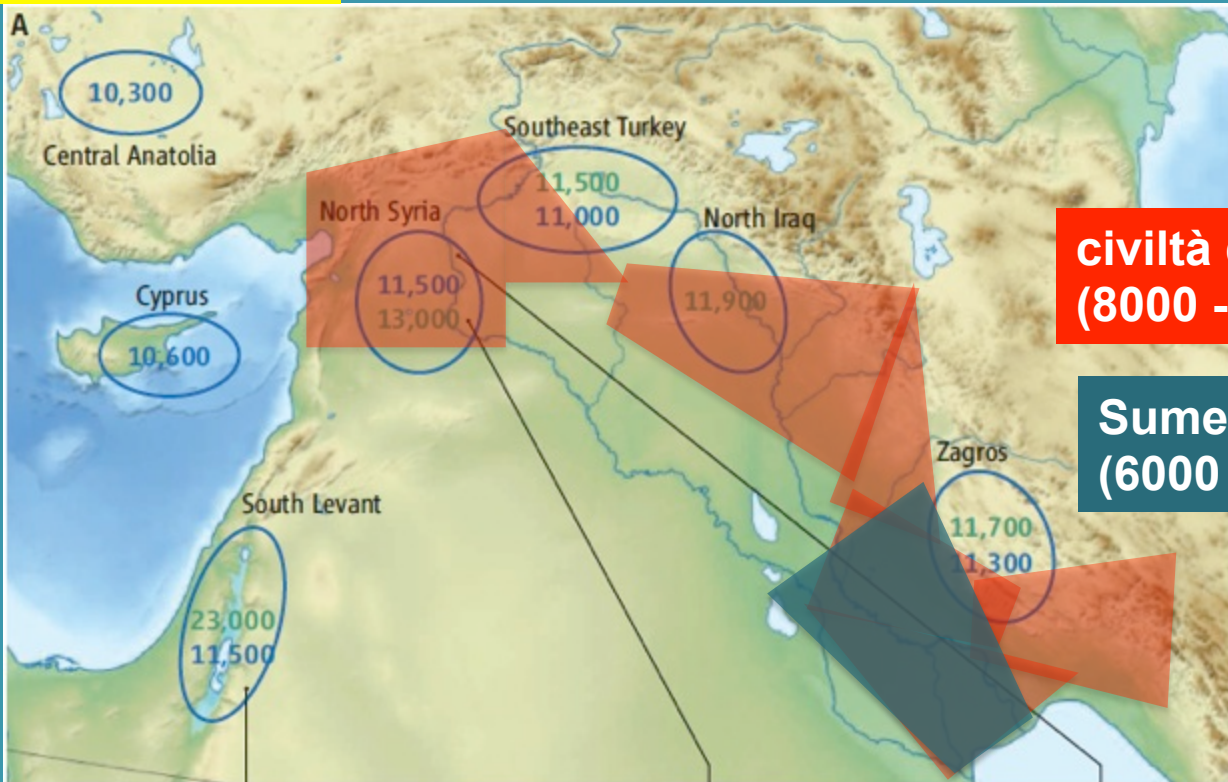
Futuro:



oppure



# Neolitico



**civiltà di Ubaid  
(8000 - 6000 anni fa)**

**Sumer  
(6000 - 4400 anni fa)**

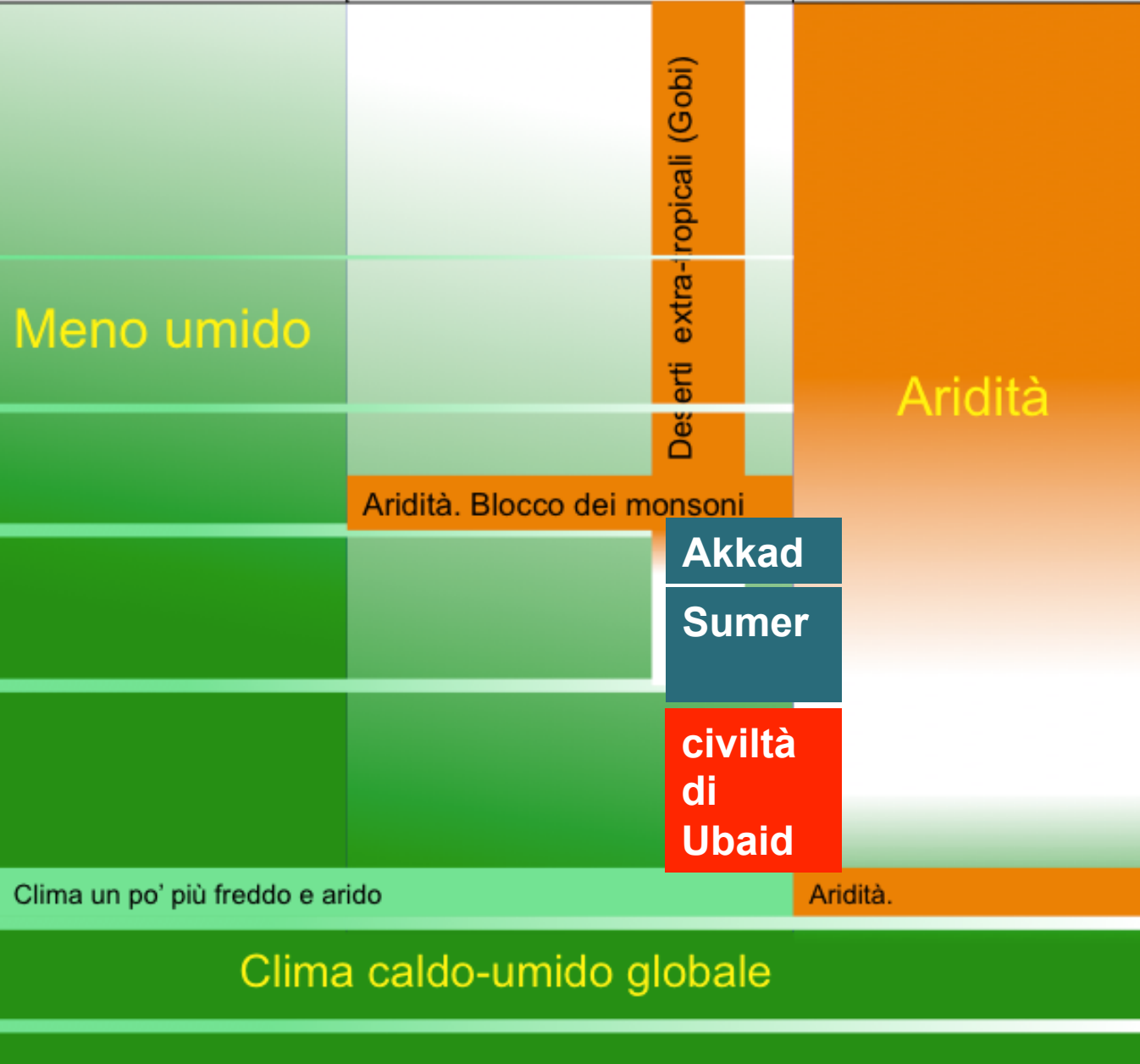


Willcox, 2013, *The roots of cultivation in Southwestern Asia*, Science 341, 39

Lawler, 2012, *Uncovering civilization's roots*, Science 335, 790.

	Emisfero Nord latitudine > 40°	Europa, Africa, Asia 40° - 30°	Africa, Arabia 30° - 15°
--	-----------------------------------	-----------------------------------	-----------------------------

**Anno**  
2000  
1800  
1600  
1000  
0  
-1000  
-2000  
-3000  
-4000  
-5000  
-6000  
-8000



piccola glaciaz.

clima caldo

Optimum Climatico



Terribile inaridimento tra il 2200 e il 2100 a.C. circa. Crollano nello stesso periodo: l'impero di **Akkad in Mesopotamia**, **l'Antico Regno in Egitto** e la **civiltà neolitica in Cina**. Difficoltà nella **Valle dell'Indo (Harappa)**.



**Per comprendere la storia dell'umanità non si può fare a meno dell'astronomia.**

